



راهنمای گام به گام طراحی اعضای قاب های بتن مسلح

مطابق آیین نامه ACI 318-14

قسمت اول - طرح غیر لرزه ای تیرها و ستون ها

عبدالمهدی عباسی

فهرست مطالب

– خلاصه بندهای آیین نامه ACI 318-14 مرتبط با طرح غیر لرزه ای تیرها و ستون ها

– الگوریتم های طرح خمشی تیرها

– الگوریتم طرح برشی تیرها

– الگوریتم طرح برای پیچش تیرها

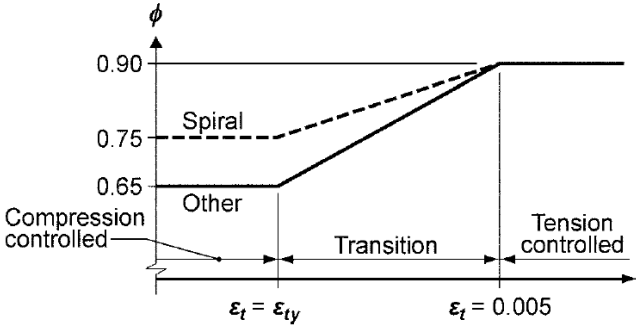
– الگوریتم ترسیم منحنی اندرکنش ستون ها

قسمت اول

خلاصه بندهای آیین نامه ACI 318-14 مرتبط با طرح غیر لرزه ای

تیرها و ستون ها

بند های آیین نامه ACI 318-14 برای تحلیل خمشی تیرها											
9.5.1.1	برای هر ترکیب بارگذاری قابل کاربرد، مقاومت طراحی در کلیه مقاطع باید رابطه $\phi S_n \geq U$ شامل (الف) اثرات مستقل و (ب) اندرکنش بین اثرات بارهای در نظر گرفته شده را ارضا نماید. (الف) $\phi M_n > M_u$										
9.5.1.2	ϕ مطابق با قسمت 21.2 محاسبه می شود.										
9.5.2.1	اگر $P_u < 0.10f'_c A_g$ ، M_n براساس قسمت 22.3 محاسبه می شود. بند 22.3.1 قسمت 22.3 بیان می دارد که M_n مطابق با فرضیات قسمت 22.2 محاسبه گردد.										
9.6.1.1	مقدار حداقل میلگرد به میزان $A_{s,min}$ در هر مقطعی که براساس تحلیل انجام شده آرماتور کششی مورد نیاز است باید تامین شود.										
9.6.1.2	$A_{s,min}$ برابر با بیشترین مقدار محاسبه شده از روابط (الف) و (ب) به جز مورد ذکر شده در بند 9.6.1.3 می باشد. برای یک تیر معین استاتیکی با بال کششی مقدار b_w باید کمتر از b_f و $2b_w$ باشد. (الف) $\frac{0.25\sqrt{f'_c}}{f_y} b_w d$ (ب) $\frac{1.4}{f_y} b_w d$										
9.6.1.3	اگر A_s فراهم شده در هر مقطع حداقل $1/3$ برابر A_s محاسبه شده در تحلیل باشد نیازی به در نظر گرفتن بند های 9.6.1.1 و 9.6.1.2 نیست.										
9.3.3.1	برای تیرهای غیر پیش تنیده، که در آنها $P_u < 0.10f'_c A_g$ باشد، حداقل مقدار ϵ_t باید برابر 0.004 باشد.										
9.3.1.1	برای تیرهای غیرپیش تنیده ای که حمل کننده یا متصل به پارتیشن ها یا سایر ساخته هایی که می توانند بر اثر تغییرشکل های زیاد آسیب ببینند، نیستند، ارتفاع تیر h باید محدودیت های جدول 9.3.1.1 را ارضا نماید. مگر اینکه محاسبه تغییرشکل ها محدودیت های بند 9.3.2 را ارضا نماید. <table border="1" style="margin-left: auto; margin-right: auto;"> <thead> <tr> <th>شرایط تکیه گاهی</th> <th>حداقل h</th> </tr> </thead> <tbody> <tr> <td>تکیه گاه ساده</td> <td>$l/16$</td> </tr> <tr> <td>از یک طرف پیوسته</td> <td>$l/18.5$</td> </tr> <tr> <td>از دو طرف پیوسته</td> <td>$l/21$</td> </tr> <tr> <td>طره ای</td> <td>$l/8$</td> </tr> </tbody> </table> <p>روابط ارائه شده در جدول فوق، برای بتن با وزن معمولی و میلگردهای گرید 420 می باشد برای بقیه حالت ها حداقل h باید مطابق بندهای 9.3.1.1.1 تا 9.3.1.1.3 هر کدام قابل کاربرد باشد اصلاح گردد. 9.3.1.1.1 مقرر می دارد که برای f_y های غیر از 420 مگاپاسکال، روابط جدول فوق در عبارت $(0.4 + \frac{f_y}{700})$ ضرب شوند. 9.3.1.1.2 مربوط به بتن های سبک می باشد که از محدوده مطالب این کتاب خارج است. 9.3.1.1.3 مربوط به ضرایب اصلاحی بتن های ترکیبی است که از محدوده مطالب این کتاب خارج است. 9.3.2 مربوط به محاسبات تغییرفرم است که در فصل مربوطه به تفصیل بررسی خواهد شد.</p>	شرایط تکیه گاهی	حداقل h	تکیه گاه ساده	$l/16$	از یک طرف پیوسته	$l/18.5$	از دو طرف پیوسته	$l/21$	طره ای	$l/8$
شرایط تکیه گاهی	حداقل h										
تکیه گاه ساده	$l/16$										
از یک طرف پیوسته	$l/18.5$										
از دو طرف پیوسته	$l/21$										
طره ای	$l/8$										

<p>ضریب کاهش مقاومت ϕ باید مطابق جدول 21.2.1 انتخاب شود مگر آنکه با بندهای 21.2.2 و 21.2.3 و 21.2.4 اصلاح شود.</p> <p>جدول 21.2.1</p> <table border="1" data-bbox="300 371 1201 551"> <tr> <td data-bbox="300 371 603 551"> <p>نزدیک انتهای اعضای پیش تنیده که استراندها به صورت کامل توسعه نیافته اند ϕ باید مطابق 21.2.3 انتخاب شود</p> </td> <td data-bbox="603 371 903 551"> <p>مقدار ϕ از 0.65 تا 0.9 مطابق بند 21.2.2 انتخاب می شود</p> </td> <td data-bbox="903 371 1201 551"> <p>برای خمش، نیروی محوری و ترکیب خمش و نیروی محوری</p> </td> </tr> </table>	<p>نزدیک انتهای اعضای پیش تنیده که استراندها به صورت کامل توسعه نیافته اند ϕ باید مطابق 21.2.3 انتخاب شود</p>	<p>مقدار ϕ از 0.65 تا 0.9 مطابق بند 21.2.2 انتخاب می شود</p>	<p>برای خمش، نیروی محوری و ترکیب خمش و نیروی محوری</p>	<p>21.2.1</p>
<p>نزدیک انتهای اعضای پیش تنیده که استراندها به صورت کامل توسعه نیافته اند ϕ باید مطابق 21.2.3 انتخاب شود</p>	<p>مقدار ϕ از 0.65 تا 0.9 مطابق بند 21.2.2 انتخاب می شود</p>	<p>برای خمش، نیروی محوری و ترکیب خمش و نیروی محوری</p>		
<p>ضریب کاهش مقاومت برای خمش، نیروی محوری و ترکیب خمش - نیروی محوری مطابق جدول 21.2.2 محاسبه می شود (در اینجا شکل R21.2.2b به جای آن آورده شده است)</p> 	<p>21.2.2</p>			
<p>برای میلگرد آجدار، مقدار ϵ_{ty} برابر $\frac{f_y}{E_s}$ می باشد برای آرماتور گرید 420 می توان ϵ_{ty} را برابر 0.002 در نظر گرفت.</p>	<p>21.2.2.1</p>			
<p>تعادل باید در تمام مقاطع برقرار باشد.</p>	<p>22.2.1.1</p>			
<p>کرنش در بتن و میلگردهای غیرپیش تنیده متناسب با فاصله از محور خنثی در نظر گرفته می شود.</p>	<p>22.2.1.2</p>			
<p>حداکثر کرنش در دورترین تار فشاری بتن برابر 0.003 فرض می شود.</p>	<p>22.2.2.1</p>			
<p>از مقاومت کششی بتن در محاسبات مقاومت محوری و خمشی صرفنظر می شود</p>	<p>22.2.2.2</p>			
<p>رابطه بین تنش فشاری بتن و کرنش به صورت مستطیل، دوزنقه یا هر شکل دیگری که نتایج در توافق اساسی با آزمون های جامع ارایه نماید مجاز می باشد.</p>	<p>22.2.2.3</p>			
<p>توزیع تنش معادل مستطیلی مطابق 22.2.2.4.1 تا 22.2.2.4.3 ارضا کننده 22.2.2.3 می باشد.</p>	<p>22.2.2.4</p>			
<p>تنش فشاری $0.85f'_c$ که به صورت یکنواخت روی یک ناحیه فشاری معادل، قرار گرفته بین لبه های مقطع و خط موازی با محورخنثی در فاصله a از تار با ماکزیمم کرنش فشاری وارد می شود. a از رابطه زیر محاسبه می گردد:</p> $a = \beta_1 c$	<p>22.2.2.4.1</p>			
<p>فاصله تار با کرنش فشاری حداکثر از محور خنثی c عمود بر محور خنثی اندازه گیری می شود.</p>	<p>22.2.2.4.2</p>			
<p>مقدار β_1 مطابق با جدول 22.2.4.3 محاسبه می شود (در اینجا به صورت روابط آمده است)</p> $\beta_1 = \begin{cases} 0.85 & f'_c \leq 28 \text{ MPa} \\ 0.85 - 0.05 \frac{f'_c - 28 \text{ MPa}}{7 \text{ MPa}} & 28 \text{ MPa} < f'_c \leq 55 \text{ MPa} \\ 0.65 & f'_c > 55 \text{ MPa} \end{cases}$	<p>22.2.2.4.3</p>			

شماره بند آیین نامه	شرح						
22.5.1.1	مقاومت برشی اسمی در یک مقطع، V_n از رابطه زیر محاسبه می شود: $V_n = V_c + V_s$						
9.5.1.1	برای هر ترکیب بارگذاری قابل اعمال به عضو، مقاومت طراحی هر مقطع عضو باید رابطه $\phi S_n \geq U$ را تامین نماید. برای نیروی برشی این رابطه به صورت زیر نوشته می شود: $\phi V_n > V_u$ ϕ طبق 21.2 محاسبه می شود.						
21.2.1	ضریب کاهش مقاومت ϕ مطابق جدول 21.2.1 آیین نامه برای برش، برابر 0.75 می باشد.						
22.2.4.1	اعضایی که برای مقاومت در برابر برش ناشی از زلزله طراحی می شوند و در آنها مقاومت برشی اسمی عضو کمتر از برش معادل مقاومت خمشی اسمی آن عضو است، ضریب ϕ برابر 0.6 منظور می شود. مقاومت خمشی اسمی عضو با در نظر گرفتن بحرانی ترین بارهای محوری ضریب دار شامل بار زلزله محاسبه می شوند.						
22.5.1.2	ابعاد مقطع طوری انتخاب می شود که معادله 22.5.1.2 برقرار باشد: $V_u \leq \phi \left(V_c + 0.066 \sqrt{f'_c} b_w d \right)$						
22.5.1.3	برای اعضای غیر پیش تنیده V_c طبق 22.5.5، 22.5.6 یا 22.5.7 محاسبه می شود.						
22.5.1.6	V_s مطابق بند 22.5.10 محاسبه می شود.						
22.5.2.2	برای محاسبه V_c و V_s در مقاطع توپر دایره ای، d را می توان برابر هشتاد درصد اندازه قطر و b_w را برابر قطر در نظر گرفت.						
22.5.3.1	مقدار $\sqrt{f'_c}$ برای محاسبه V_c در برش یک طرفه نباید از 8.3 MPa تجاوز نماید. مگر آنکه شرایط بند 22.5.3.2 برقرار باشد.						
22.5.3.2	مقدار $\sqrt{f'_c}$ برای محاسبه V_c در برش یک طرفه را می توان بیش از 8.3 MPa در نظر گرفت که تیر بتن مسلح یا تریچه بتنی یا تیر پیش تنیده، حداقل آرماتور مطابق بند 9.6.3.3 یا 9.6.4.2 را داشته باشد.						
9.6.3.1	استفاده از حداقل مساحت فولاد برشی $A_{v,min}$ در همه نواحی که $V_u > 0.5\phi V_c$ لازم است مگر آنکه یکی از شرایط جدول 9.6.3.1 برقرار باشد. در حالات ذکر شده در جدول 9.6.3.1 حداقل فولاد برشی $A_{v,min}$ در هر مقطعی که $V_u > \phi V_c$ باشد ضروری است. جدول 9.6.3.1 شرایطی که اگر $V_c < V_u \leq 0.5\phi V_c$ باشد استفاده از $A_{v,min}$ ضروری نیست						
	<table border="1"> <tr> <td>تیر با عمق کم</td> <td>$h \leq 250 \text{ mm}$</td> </tr> <tr> <td>تیری که همزمان با دال ریخته شده باشد</td> <td>$h \leq \max(2.5t_f \text{ or } 0.5b_w)$</td> </tr> <tr> <td>سیستم های تیرچه بتنی یک طرفه</td> <td>مطابق بند 9.8</td> </tr> </table>	تیر با عمق کم	$h \leq 250 \text{ mm}$	تیری که همزمان با دال ریخته شده باشد	$h \leq \max(2.5t_f \text{ or } 0.5b_w)$	سیستم های تیرچه بتنی یک طرفه	مطابق بند 9.8
تیر با عمق کم	$h \leq 250 \text{ mm}$						
تیری که همزمان با دال ریخته شده باشد	$h \leq \max(2.5t_f \text{ or } 0.5b_w)$						
سیستم های تیرچه بتنی یک طرفه	مطابق بند 9.8						
9.7.6.2.2	حداکثر فاصله بین میلگردهای برشی باید مطابق با جدول 9.7.6.2.2 باشد. جدول 9.7.6.2.2 حداکثر فاصله بین میلگردهای برشی						
	<table border="1"> <tr> <td>V_s</td> <td>$s, \text{ mm}$</td> </tr> <tr> <td>$\leq 0.33\sqrt{f'_c} b_w d$</td> <td>$\min(d/2, 600 \text{ mm})$</td> </tr> <tr> <td>$> 0.33\sqrt{f'_c} b_w d$</td> <td>$\min(d/4, 300 \text{ mm})$</td> </tr> </table>	V_s	$s, \text{ mm}$	$\leq 0.33\sqrt{f'_c} b_w d$	$\min(d/2, 600 \text{ mm})$	$> 0.33\sqrt{f'_c} b_w d$	$\min(d/4, 300 \text{ mm})$
V_s	$s, \text{ mm}$						
$\leq 0.33\sqrt{f'_c} b_w d$	$\min(d/2, 600 \text{ mm})$						
$> 0.33\sqrt{f'_c} b_w d$	$\min(d/4, 300 \text{ mm})$						
9.4.3.1	برای تیرهایی که با تکیه گاه به صورت همزمان بتن ریزی می شوند، V_u را می توان بر تکیه گاه محاسبه کرد و طراحی را براساس آن انجام داد.						
9.4.3.2	مقاطع بین بر تکیه گاه و مقطع بحرانی قرار گرفته به فاصله d از وجه تکیه گاه را می توان برای محاسبه V_u در مقطع بحرانی استفاده کرد مشروط بر آنکه: الف. عکس العمل تکیه گاهی در جهت برش اعمال شده نیروی فشاری در انتهای تیر ایجاد نماید ب. بار بالا یا نزدیک به وجه بالایی تیر به آن وارد شود ج. بار متمرکزی در فاصله بین وجه تکیه گاه و مقطع بحرانی وارد نشود.						

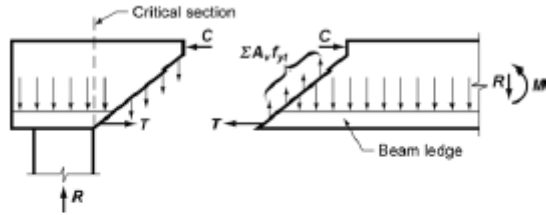


Fig. R9.4.3.2b—Location of critical section for shear in a beam loaded near bottom.

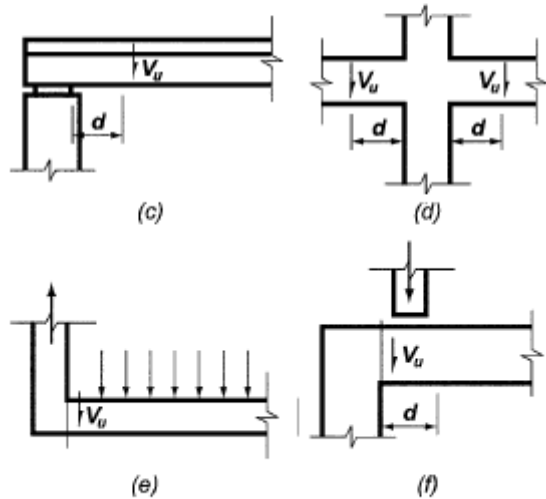


Fig. R9.4.3.2(c), (d), (e), (f)—Typical support conditions for locating factored shear force V_u .

اگر آرما تور برشی مورد نیاز باشد و از اثرات پیشش مطابق بند 9.5.4.1 بتوان صرفنظر کرد، $A_{v,min}$ مطابق جدول 9.6.3.3 محاسبه می شود.

9.6.3.3

جدول 9.6.3.3 حداقل فولاد برشی مقطع	
نوع تیر	$\frac{A_{v,min}}{s}$
تیر غیر پیش تنیده	$\begin{cases} 0.062\sqrt{f'_c} \frac{b_w}{f_{yt}} \\ \text{بزرگتر} \\ 0.35 \frac{b_w}{f_{yt}} \end{cases}$

مقادیر f_{yt} مورد استفاده برای محاسبه V_s نباید از حدود ذکر شده در بند 20.2.2.4 تجاوز کند.

22.5.3.3

مطابق جدول 20.2.2.4 حداکثر f_{yt} اجازه داده شده برای طراحی خاموت ها در صورت استفاده از میلگرد به عنوان مسلح کننده برشی، 420 MPa می باشد.

20.2.2.4

برای اعضای غیر پیش تنیده و بدون بار محوری، V_c از رابطه زیر محاسبه می شود:

22.5.5.1

$$V_c = 0.17\lambda\sqrt{f'_c}b_wd$$

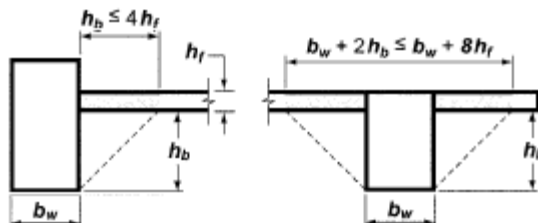
می توان از روابط مفصل تر جدول 22.5.5.1 نیز استفاده کرد:

V_c	
کمترین مقدار	الف. $\left(0.16\lambda\sqrt{f'_c} + 17\rho_w \frac{V_u d}{M_u}\right) b_w d$
	ب. $\left(0.16\lambda\sqrt{f'_c} + 17\rho_w\right) b_w d$
	ج. $\left(0.29\lambda\sqrt{f'_c}\right) b_w d$

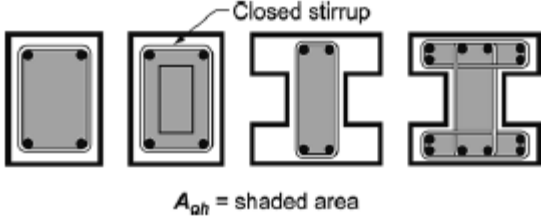
22.5.6.1	برای اعضای غیر پیش تنیده با بار محوری فشاری، V_c از رابطه زیر محاسبه می شود: $V_c = 0.17 \left(1 + \frac{N_u}{14A_g} \right) \lambda \sqrt{f'_c} b_w d$ N_u در فشار مثبت در نظر گرفته می شود.
22.5.7.1	برای اعضای غیر پیش تنیده با کشش محوری قابل توجه، V_c از رابطه زیر محاسبه می شود: $V_c = 0.17 \left(1 + \frac{N_u}{3.5A_g} \right) \lambda \sqrt{f'_c} b_w d$ N_u در کشش منفی و V_c نمی تواند کمتر از صفر باشد.
22.5.10.1	در هر مقطعی از عضو که $V_u > \phi V_c$ میلگرد عرضی مطابق معادله 22.5.10.1 تامین گردد: $V_s \geq \frac{V_u}{\phi} - V_c$
22.5.10.5.3	V_s برای مسلح سازی برشی از رابطه زیر محاسبه می شود: $V_s = \frac{A_v}{s} f_{yt} d$ که s فاصله بین میلگردهای برشی و A_v طبق 22.5.10.5.5 یا 22.5.10.5.6 تعریف می شود.
22.5.10.5.2	استفاده از مسلح کننده برشی مایل با زاویه حداقل 45 درجه با محور طولی و عبوری از صفحه ترک های محتمل برشی، به عنوان مسلح کننده در اعضای غیر پیش تنیده مجاز است.
22.5.10.5.4	برای خاموت های با شرایط 22.5.10.5.2، V_s از رابطه زیر محاسبه می شود: $V_s = \frac{A_v}{s} f_{yt} (\sin \alpha + \cos \alpha) d$ که α زاویه بین خاموت های مایل و محور طولی عضو است. s موازی با محور طولی اندازه گیری می شود.
22.5.10.5.5	برای خاموت های مستطیل شکل، A_v مساحت موثر کلیه ساق های خاموت در فاصله s می باشد.

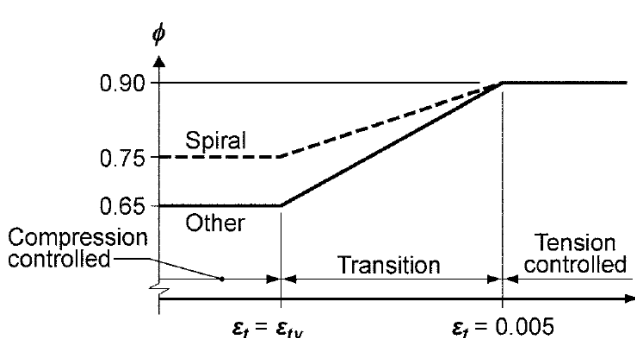
ج- پیچش

شماره بند آیین نامه	شرح
9.2.4.4	برای طراحی پیچشی مطابق بند 22.7 میزان بیرون زدگی بال تیر برای محاسبه A_{cp} ، A_g ، P_{cp} مطابق الف و ب محاسبه می شود: الف. عرض بیرون زدگی بال شامل قسمتی از دال در طرفین تیر که به میزان تصویر بزرگتر تیر روی دال در بالا و پایین آن می باشد این مقدار لازم نیست بیشتر از چهار برابر ضخامت دال باشد. ب. بیرون زدگی بال هنگامی که برای یک مقطع توپر مقدار پارامتر A_{cp}^2 / P_{cp} کمتر همین مقدار برای تیر بدون در نظر گرفتن بالها باشد نادیده گرفته می شود.
9.4.4.1	در صورتی که تحلیل هایی دقیق تر انجام نشود اجازه داده می شود پیچش حاصل از دال به صورت یکنواخت روی تیر متصل به آن توزیع شود.
9.4.4.2	برای تیری که همزمان با تکیه گاه بتن ریزی شده باشد، T_u در تکیه گاه را می توان در وجه آن محاسبه کرد.



94.4.3	مقاطع بین وجه تکیه گاه و مقطع بحرانی به فاصله d از وجه تکیه گاه را می توان برای T_u مقطع بحرانی طراحی کرد مشروط براینکه در این فاصله پیچش متمرکزی وارد نشده باشد. در حالت اخیر، مقطع بحرانی در وجه تکیه گاه در نظر گرفته می شود.						
9.4.4.4	اجازه داده می شود T_u مطابق بند 22.7.3 کاهش داده شود.						
9.5.1.1	برای هر ترکیب بارگذاری قابل اعمال به عضو، مقاومت طراحی هر مقطع عضو باید رابطه $\phi S_n \geq U$ را تامین نماید. برای نیروی برشی این رابطه به صورت زیر نوشته می شود: $\phi T_n > T_u$ ϕ طبق 21.2 برای پیچش برابر 0.75 می باشد.						
9.5.4.1	اگر $T_u < \phi T_{th}$ که مقدار T_{th} در بند 22.7 داده شده است، می توان از اثرات پیچش صرفنظر کرد. حداقل آرماتور پیچشی مطابق بند 9.6.4 و الزامات تهیه جزئیات اجرایی مطابق 9.7.5 و 9.7.6.3 انجام می شود.						
9.5.4.2	T_n مطابق بند 22.7 محاسبه می شود.						
9.5.4.3	میلگردهای طولی و عرضی مورد نیاز جهت پیچش به میلگردهای مورد نیاز برای V_u, M_u, P_u افزوده می شوند تا در ترکیب با پیچش عمل نمایند.						
9.5.4.5	اجازه داده شده است که مساحت میلگردهای طولی پیچشی در ناحیه فشاری تیر به میزان $\frac{M_u}{0.9d f_y}$ که M_u همزمان با T_n در مقطع مورد نظر اتفاق می افتد، کاهش داد، مشروط بر آنکه مساحت میلگرد طولی کمتر از حداقل قید شده در بند 9.6.4 نباشد.						
9.6.4.1	حداقل مساحت آرماتور پیچشی در هر مقطعی که مطابق بند 22.7 $T_u \geq \phi T_{th}$ تامین گردد.						
9.6.4.2	اگر میلگردهای پیچشی مورد نیاز باشد، حداقل میلگرد عرضی $(A_v + 2A_t)min/s$ باید بزرگتر از مقادیر الف و ب باشد: الف. $0.062 \sqrt{f'_c} \frac{b_w}{f_{yt}}$ ب. $0.35 \frac{b_w}{f_{yt}}$						
9.6.4.3	اگر میلگردهای پیچشی مورد نیاز باشد، حداقل مساحت آرماتورهای طولی $A_{t,min}$ برابر کمترین مقدار الف و ب است: الف. $0.42 \sqrt{f'_c} \frac{A_{cp}}{f_{yt}} - \left(\frac{A_t}{s}\right) P_h \frac{f_{yt}}{f_y}$ ب. $0.42 \sqrt{f'_c} \frac{A_{cp}}{f_{yt}} - \left(\frac{0.175 b_w}{f_{yt}}\right) P_h \frac{f_{yt}}{f_y}$						
22.7.1.1	این بخش در مورد اعضای کاربری دارد که $T_u \geq \phi T_{th}$ که ϕ در فصل 21 و پیچش آستانه T_{th} در بند 22.7.4 داده شده است. اگر $T_u < \phi T_{th}$ اجازه داده می شود از اثرات پیچش در طراحی صرفنظر شود.						
22.7.1.2	مقاومت اسمی پیچشی مطابق 22.7.6 محاسبه می شود.						
22.7.1.3	برای محاسبه T_{th}, T_{cr} مقدار λ مطابق 19.2.4 محاسبه می شود. (در این کتاب بتن سازه ای مفروض، بتن با وزن معمولی است بنابراین همواره $\lambda = 1$)						
22.7.2.1	مقدار $\sqrt{f'_c}$ مورد استفاده برای محاسبه T_{th}, T_{cr} نباید از 8.3 مگاپاسکال تجاوز کند.						
22.7.2.2	مقادیر f_y و f_{yt} برای میلگردهای عرضی و طولی پیچشی نباید از حدود ذکر شده در بند 20.2.2.4 تجاوز کند. (در بند مذکور این مقادیر برای پیچش 420 MPa ذکر شده است)						
22.7.3.1	اگر $T_u \geq \phi T_{cr}$ و T_u برای حفظ تعادل ضروری باشد، عضو برای مقاومت در برای T_u طراحی می شود.						
22.7.3.2	در یک سازه نامعین که $T_u \geq \phi T_{cr}$ و کاهش T_u به واسطه بازتوزیع نیروهای داخلی بعد از ایجاد ترک های پیچشی امکان پذیر باشد، اجازه داده شده است که T_u به ϕT_{cr} کاهش داده شود که T_{cr} طبق بند 22.7.5 محاسبه می شود.						
22.7.3.3	اگر T_u مطابق بند 22.7.3.2 قابل بازتوزیع باشد لنگر های خمشی و برش های ضریب دار مورد استفاده برای طراحی اعضای مجاور باید با لنگر پیچشی کاهش یافته در تعادل باشند.						
22.7.4.1	پیچش آستانه T_{th} مطابق جدول 22.7.4.1 الف. محاسبه می شود، که N_u در فشار مثبت، و برای کشش منفی است. جدول 22.7.4.1 الف- پیچش آستانه برای مقاطع توپر						
	<table border="1"> <thead> <tr> <th>نوع عضو</th> <th>T_{th}</th> <th></th> </tr> </thead> <tbody> <tr> <td>اعضای غیر پیش تنیده</td> <td>$0.083 \lambda \sqrt{f'_c} \left(\frac{A_{cp}^2}{P_{cp}}\right)$</td> <td>الف</td> </tr> </tbody> </table>	نوع عضو	T_{th}		اعضای غیر پیش تنیده	$0.083 \lambda \sqrt{f'_c} \left(\frac{A_{cp}^2}{P_{cp}}\right)$	الف
نوع عضو	T_{th}						
اعضای غیر پیش تنیده	$0.083 \lambda \sqrt{f'_c} \left(\frac{A_{cp}^2}{P_{cp}}\right)$	الف					

اعضای غیر پیش تنیده در معرض نیروی محوری	$0.083\lambda \sqrt{f'_c} \left(\frac{A_{cp}^2}{P_{cp}} \right) \sqrt{1 + \frac{N_u}{0.33A_g \lambda \sqrt{f'_c}}}$	ج	
<p>22.7.5.1 پیچش ترک خوردگی T_{cr} مطابق جدول 22.7.5.1 محاسبه می شود، که N_u در فشار مثبت، و برای کشش منفی است.</p> <p>جدول 22.7.5.1 پیچش ترک خوردگی</p>	22.7.5.1		
<p>22.7.6.1 برای اعضای غیر پیش تنیده و پیش تنیده، T_n برابر کمترین مقدار الف و ب است:</p> $T_n = \frac{2A_0 A_t f_y t}{s} \cot \theta$ $T_n = \frac{2A_0 A_t f_y}{P_h} \cot \theta$ <p>الف. که A_0 با تحلیل مشخص می شود. θ نباید کمتر از 30 درجه و بیشتر از 60 درجه باشد، A_t مساحت یک ساق خاموت بسته مقاوم در برابر پیچش، A_l مساحت میلگرد پیچشی طولی، و P_h محیط خط مرکزی بیرونی ترین خاموت بسته است.</p>	22.7.6.1		
<p>22.7.6.1.1 در روابط 22.7.6.1 الف و ب، اجازه داده می شود A_0 برابر $0.85A_{oh}$ منظور شود.</p>  <p>A_{oh} = shaded area</p> <p>Fig. R22.7.6.1.1—Definition of A_{oh}.</p>	22.7.6.1.1		
<p>22.7.6.1.2 در روابط 22.7.6.1 الف و ب، اجازه داده می شود θ برابر روابط الف و ب در نظر گرفته شود:</p> <p>الف. 45 درجه برای غیر پیش تنیده</p> <p>بند ب مربوط به اعضای پیش تنیده است در اینجا ذکر نشده است.</p>	22.7.6.1.2		
<p>22.7.7.1 ابعاد مقطع به گونه ای انتخاب شود که رابطه بند الف برقرار باشد:</p> <p>الف. برای مقاطع توپر</p> $\sqrt{\left(\frac{V_u}{b_w d}\right)^2 + \left(\frac{T_u P_h}{1.7 A_{oh}^2}\right)^2} \leq \phi \left(\frac{V_c}{b_w d} + 0.66 \sqrt{f'_c}\right)$	22.7.7.1		
<p>9.7.5.1 اگر میلگردهای پیچشی مورد نیاز باشد، میلگردهای طولی پیچشی باید به صورت یکنواخت در محیط خاموت های بسته به نحوی که فاصله آنها از 300 میلی متر بیشتر نشود توزیع شود. میلگردهای طولی داخل خاموت بسته قرار می گیرد و حداقل یک میلگرد طولی در تمام گوشه ها قرار گیرد.</p>	9.7.5.1		
<p>9.7.5.2 میلگردهای طولی پیچشی، حداقل قطری برابر 0.042 برابر میلگردهای عرضی داشته باشد ولی نباید کمتر از 10mm باشد.</p>	9.7.5.2		
<p>9.7.5.3 میلگردهای طولی پیچشی، در وجه تکیه گاه در هر دو انتهای عضو مهار شوند.</p>	9.7.5.3		
<p>9.7.6.3.1 اگر میلگردهای عرضی پیچشی مورد نیاز باشد، این میلگردهای عرضی باید مطابق بند 25.7.1.6 از نوع خاموت بسته باشد.</p>	9.7.6.3.1		
<p>9.7.6.3.2 میلگردهای عرضی پیچشی باید حداقل به اندازه $b_t + d$ آنسوی نقطه ای که تحلیل نشان می دهد ادامه یابد.</p>	9.7.6.3.2		
<p>9.7.6.3.3 فاصله بین میلگردهای پیچشی عرضی نباید بیش از $P_h/8$ و 300 میلی متر باشد.</p>	9.7.6.3.3		

شماره بند آیین نامه	شرح								
10.4.1.1	مقاومت مورد نیاز مطابق ترکیبات بارگذاری ضریب دار فصل 5 آیین نامه محاسبه می شود. توضیح: در فصل 5 آیین نامه ترکیبات بارگذاری مورد اشاره قرار گرفته است. در این کتاب در فصل مبانی تحلیل به این ترکیبات و نیز این فصل آیین نامه اشاره شده است.								
10.4.1.2	مقاومت مورد نیاز مطابق روش های تحلیل ارائه شده در فصل 6 آیین نامه محاسبه می شود. توضیح: در فصل 6 آیین نامه روش های مجاز تحلیل مورد بررسی قرار گرفته است. در این کتاب در فصل مبانی بارگذاری و تحلیل به این روش ها و فصل مربوطه آیین نامه اشاره شده است.								
10.4.2.1	P_u, M_u که در هر ترکیب بارگذاری به صورت همزمان وارد می شوند، لازم است در نظر گرفته شوند.								
10.5.1.1	برای هر ترکیب بارهای ضریبدار، مقاومت طراحی در کلیه مقاطع عضو، رابطه $\phi S_n \geq U$ شامل معادله زیر را ارضا می کند. اندرکنش بین بارها باید در نظر گرفته شود. $\phi P_n \geq P_u$ $\phi M_n \geq M_u$ $\phi V_n \geq V_u$ $\phi T_n \geq T_u$								
10.5.1.2	ϕ مطابق بند 21.2 محاسبه می شود.								
21.2.1	ضریب کاهش مقاومت ϕ باید مطابق جدول 21.2.1 انتخاب شود مگر آنکه با بندهای 21.2.2 و 21.2.3 و 21.2.4 اصلاح شود. جدول 21.2.1								
	<table border="1"> <tr> <td>نزدیک انتهای اعضای پیش تنیده که استراندها به صورت کامل توسعه نیافته اند ϕ باید مطابق 21.2.3 انتخاب شود</td> <td>مقدار ϕ از 0.65 تا 0.9 مطابق بند 21.2.2 انتخاب می شود</td> <td>برای خمش، نیروی محوری و ترکیب خمش و نیروی محوری</td> </tr> </table>	نزدیک انتهای اعضای پیش تنیده که استراندها به صورت کامل توسعه نیافته اند ϕ باید مطابق 21.2.3 انتخاب شود	مقدار ϕ از 0.65 تا 0.9 مطابق بند 21.2.2 انتخاب می شود	برای خمش، نیروی محوری و ترکیب خمش و نیروی محوری					
نزدیک انتهای اعضای پیش تنیده که استراندها به صورت کامل توسعه نیافته اند ϕ باید مطابق 21.2.3 انتخاب شود	مقدار ϕ از 0.65 تا 0.9 مطابق بند 21.2.2 انتخاب می شود	برای خمش، نیروی محوری و ترکیب خمش و نیروی محوری							
21.2.2	ضریب کاهش مقاومت برای خمش، نیروی محوری و ترکیب خمش - نیروی محوری مطابق جدول 21.2.2 محاسبه می شود (در اینجا شکل R21.2.2b به جای آن آورده شده است) 								
10.5.2.1	P_n, M_n مطابق بند 22.4 محاسبه می شود.								
22.4.1.1	مقاومت خمشی و محوری مقطع مطابق با فرضیات بخش 22.2 محاسبه می شود. توضیح: فرضیات بخش 22.2 همان است که در فصل خمش تیرها مورد بررسی قرار گرفت.								
22.4.2.1	مقاومت اسمی فشاری مقطع P_n نباید از $P_{n,max}$ بیان شده در جدول 22.4.2.1 تجاوز کند، که در جدول مذکور P_0 با استفاده از معادله 22.4.2.2 برای اعضای غیر پیش تنیده محاسبه می شود. جدول 22.4.2.1 حداکثر مقاومت محوری								
	<table border="1"> <tr> <td>عضو</td> <td>نوع میلگرد عرضی</td> <td>$P_{n,max}$</td> </tr> <tr> <td rowspan="2">غیر پیش تنیده</td> <td>تنگ ها مطابق 22.4.2.4</td> <td>$0.8P_0$</td> </tr> <tr> <td>مارپیچ ها مطابق 22.4.2.5</td> <td>$0.85P_0$</td> </tr> </table>	عضو	نوع میلگرد عرضی	$P_{n,max}$	غیر پیش تنیده	تنگ ها مطابق 22.4.2.4	$0.8P_0$	مارپیچ ها مطابق 22.4.2.5	$0.85P_0$
عضو	نوع میلگرد عرضی	$P_{n,max}$							
غیر پیش تنیده	تنگ ها مطابق 22.4.2.4	$0.8P_0$							
	مارپیچ ها مطابق 22.4.2.5	$0.85P_0$							
22.4.2.2	برای اعضای غیر پیش تنیده و اعضای مرکب از بتن و فولاد، P_0 با رابطه زیر محاسبه می شود:								

$P_0 = 0.85f'_c(A_g - A_{st}) + f_yA_{st}$ <p>که در رابطه فوق A_{st}، مجموع مساحت میلگردهای طولی مقطع می باشد.</p>				
<p>22.4.2.4 تنگ هایی که به عنوان تکیه گاه جانبی میلگردهای طولی در اعضای فشاری استفاده می شوند باید شرایط بند 10.7.6.2 و 25.7.2 را تامین نمایند.</p>				
<p>22.4.2.5 میلگردهای مارپیچی که به عنوان تکیه گاه جانبی میلگردهای طولی در اعضای فشاری استفاده می شوند باید شرایط بند 10.7.6.3 و 25.7.3 را تامین نمایند.</p>				
<p>25.4.3.1 مقاومت کششی محوری اسمی یک مقطع غیر پیش تنیده، نباید از $P_{nt,max}$ که از رابطه زیر بدست میآید بیشتر باشد:</p> $P_{nt,max} = f_yA_{st}$				
<p>10.5.3.1 V_u مطابق بند 22.5 محاسبه می شود.</p> <p>توضیح: ملاحظات طراحی برشی و بندهای مرتبط آیین نامه در فصل طراحی برشی و پیچشی تیرها تشریح شده است.</p>				
<p>10.5.4.1 اگر $T_u \geq \phi T_{th}$ که T_{th} در 22.7 داده شده است، پیچش مطابق فصل 9 آیین نامه در نظر گرفته می شود.</p> <p>توضیح: ملاحظات طراحی پیچشی و بندهای مرتبط آیین نامه در فصل طراحی برشی و پیچشی تیرها تشریح شده است.</p>				
<p>10.6.1.1 برای ستون های غیر پیش تنیده، حداقل مساحت میلگردهای طولی برابر $0.01A_g$ و حداکثر $0.08A_g$ است.</p>				
<p>10.6.2.1 حداقل مساحت میلگردهای برشی، $A_{v,min}$ باید در کلیه مقاطعی از عضو که $V_u > 0.5\phi V_c$ تعبیه شود.</p>				
<p>10.6.2.2 اگر مسلح سازی برشی مورد نیاز باشد، $A_{v,min}$ برابر با مقدار بزرگتر (الف) و (ب) است:</p> <p>الف. $0.062\sqrt{f'_c} \frac{b_w s}{f_{yt}}$</p> <p>ب. $0.35 \frac{b_w s}{f_{yt}}$</p>				
<p>10.7.1.1 کاور بتنی میلگردها، مطابق بند 20.6.1 محاسبه می شود.</p>				
<p>10.7.1.2 طول گیرایی میلگردهای آجدار مطابق بند 25.4 می باشد</p>				
<p>10.7.1.3 میلگردهای گروه شده، مطابق بند 25.6 استفاده شوند.</p>				
<p>10.7.2.1 حداقل فاصله بین میلگردها s باید طبق بند 25.2 باشند.</p>				
<p>10.7.3.1 برای ستون های غیر پیش تنیده، حداقل تعداد میلگردهای طولی باید طبق الف، ب یا ج باشد</p> <p>الف. سه عدد در تنگ های مثلثی</p> <p>ب. چهار عدد در تنگ های مستطیلی یا دایره ای</p> <p>ج. شش عدد محصور شده در تنگ های مارپیچ یا قاب های خمشی ویژه محصور شده با تنگ های دایره ای.</p>				
<p>10.7.4.1 شیب قسمت مایل میلگرد انتظار طولی خم شده، نسبت به محور طولی ستون نباید از 1 به 6 تجاوز نماید.</p> <p>میلگردهای بالا و پایین ناحیه خم شده میلگرد انتظار، باید موازی محورهای ستون باشند.</p>				
<p>10.7.4.2 اگر وجه ستون به اندازه 75 میلی متر یا بیشتر تو رفتگی داشته باشد، میلگردهای طولی نباید خم شوند، لازم است از میلگردهای انتظار طولی اضافی اورلب شده با میلگردهای طولی مجاور وجه تو رفته استفاده شود.</p>				
<p>10.7.5.1.1 استفاده از وصله های پوششی، وصله های مکانیکی، وصله های جوشی و وصله های اتکایی، مجاز است.</p>				
<p>10.7.5.1.2 الزامات وصله ها، باید در کلیه ترکیبات بارگذاری تامین شوند.</p>				
<p>10.7.5.1.3 وصله میلگردهای آجدار، مطابق بند 22.5 می باشد و در وصله های پوششی الزامات 10.7.5.2 و در وصله های اتکایی، 10.7.5.3 را تامین نمایند.</p>				
<p>10.7.5.2.1 اگر نیروی ایجاد شده در میلگرد در اثر بارهای ضریب دار فشاری باشد، می توان از وصله فشاری استفاده کرد. اجازه داده شده است که طول وصله پوششی فشاری مطابق الف یا ب کاهش داده شود، ولی طول وصله پوششی نمی تواند کمتر از 300 میلی متر باشد:</p> <p>الف. برای ستون های با تنگ های بسته، که تنگ ها در سراسر طول وصله در هر دو جهت مساحتی کمتر از $0.0015hs$ نداشته باشند، طول وصله پوششی را می توان در 0.83 ضرب کرد. ساق های تنگ در راستای عمود بر بعد h در محاسبه مساحت موثر در نظر گرفته می شوند.</p> <p>ب. برای ستون ها با تنگ های مارپیچی، که مارپیچ در طول وصله ضوابط بند 25.7.3 را ارضا کند، می توان طول وصله را در 0.75 ضرب کرد.</p>				
<p>10.7.5.2.2 اگر نیروی ایجاد شده در میلگرد در اثر بارهای ضریب دار کششی باشد، وصله پوششی کششی مطابق جدول 10.7.5.2.2 استفاده می شود.</p> <p>جدول 10.7.5.2.2 کلاس وصله پوششی کششی</p>				
<table border="1"> <tr> <td data-bbox="185 1998 517 2033">تنش کششی میلگرد</td> <td data-bbox="517 1998 817 2033">جزئیات وصله</td> <td data-bbox="817 1998 1145 2033">نوع وصله</td> </tr> </table>	تنش کششی میلگرد	جزئیات وصله	نوع وصله	
تنش کششی میلگرد	جزئیات وصله	نوع وصله		

کلاس A	کمتر از 50 درصد میلگردها در هر مقطع وصله شده باشند و وصله های پوششی در میلگردهای مجاور حداقل به اندازه l_d نسبت به هم جابجا شوند	$\leq 0.5f_y$
	سایر موارد	
	کلاس B	$> 0.5f_y$
کلاس B		در همه حالات
جزئیات میلگردهای برشی مطابق بند 25.7.2 و 25.7.3 برای مارپیچ ها و 25.7.4 برای تنگ ها است.		10.7.6.1.2
میلگردهای طولی باید تکیه جانبی لازم مطابق 10.7.6.2 با تنگ ها یا قلاب ها، و مطابق 10.7.6.3 با میلگردهای مارپیچ داشته باشند مگر آنکه آزمایشها و تحلیل سازه، مقاومت مناسب و قابل قبول بودن ساخت و ساز را نشان دهند.		10.7.6.1.5
اگر آنکربولت ها بالای ستون یا پدستال قرار داده شوند، بولت ها باید با تنگ های عرضی به نحوی که حداقل چهار میلگرد طولی ستون یا پدستال را در بر بگیرند مهار شوند. تنگ های عرضی در 125 میلی متری بالای ستون یا پدستال توزیع می شوند و حداقل شامل دو میلگرد 13 یا سه میلگرد 10 باشند.		10.7.6.1.6
در هر طبقه، تنگ یا قلاب پایین نباید بیش از نصف فاصله قلاب یا تنگ بالای فونداسیون یا دال، فاصله داشته باشد.		10.7.6.2.1
در هر طبقه، قلاب یا تنگ به نحوی زیر پایین ترین آرماتور افقی دال، کتیبه یا درپوش برشی قرار داده شود که فاصله آن بیش از نصف فواصل بین تنگ ها یا قلاب ها نباشد. اگر تیرها و دستک ها در هر چهار وجه ستون قرار گرفته اند، تنگ یا قلاب بالایی، نباید در فاصله بیشتر از 75 میلی متر از پایین ترین میلگرد افقی کم عمق ترین تیر یا دستک قرار داده شود.		10.7.6.2.2
در هر طبقه، پایین مارپیچ روی دال یا فونداسیون قرار داده می شود.		10.7.6.3.1
در طبقه بالای مارپیچ مطابق جدول 10.7.6.3.2 قرار داده می شود.		10.7.6.3.2
جدول 10.7.6.3.2		
قاب بندی در انتهای ستون	الزامات ادامه دادن	
تیرها یا دستک ها در کلیه وجوه ستون قاب شده اند	تا سطح پایین ترین میلگرد طولی در اعضای که در بالا نگهداری می شوند ادامه داده شود.	
تیرها یا دستک ها در کلیه وجوه ستون قاب نشده اند	تا سطح پایین ترین میلگرد طولی در اعضای که در بالا نگهداری می شوند ادامه داده شود. تنگ های اضافی ستون ها تا بالای نقطه انتهایی مارپیچ در دال، کتیبه یا درپوش برشی ادامه داده شوند	
ستون های کتیبه دار	تا سطحی که قطر یا عرض کتیبه دو برابر ستون است ادامه داده شوند	
هر گاه میلگردهای طولی تو رفتگی داشته باشند، تکیه گاه های افقی با استفاده از تنگ ها، قلاب ها، مارپیچ ها یا قسمت هایی از کف فراهم گردد و به نحوی طراحی شوند که 1.5 برابر مولفه افقی نیروی محاسبه شده در قسمت خم شده میلگرد تو رفته را تحمل نمایند.		10.7.6.4.1
اگر میلگردهای عرضی برای تحمل نیروهای ناشی از خم های تورفته تعبیه شوند، تنگ ها، قلاب ها و مارپیچ ها نباید فاصله ای بیشتر از 150 میلی متر محل خم داشته باشند.		10.7.6.4.2
در صورت نیاز، آرماتور برشی به صورت تنگ، قلاب یا مارپیچ تعبیه شود.		10.7.6.5.1
حداکثر فاصله بین آرماتورهای برشی مطابق جدول 10.7.6.5.2 باشد:		10.7.6.5.2
جدول 10.7.6.5.2 حداکثر فاصله بین آرماتورهای برشی		
V_u	حداکثر فاصله S به میلی متر	ستون های غیر پیش تنیده
$\leq 0.33 \sqrt{f'_c} b_w d$	مقدار کمتر	$d/2$
		600
$> 0.33 \sqrt{f'_c} b_w d$	مقدار کمتر	$d/4$
		300

قسمت دوم

مراحل گام به گام طراحی اعضا

1. کنترل $A_{s,min}$: اگر مقدار $A_s < A_{s,min}$ باشد محاسبات با قرار دادن $A_s = A_{s,min}$ ادامه یابد:

$$A_{s,min} = \max\left(\frac{0.25\sqrt{f'_c}}{f_y} \cdot b_w d, \frac{1.4}{f_y} b_w d\right)$$

علاوه بر این مطابق بند 9.3.1.1 حداقل h کنترل شود. ارضا شدن یا عدم ارضای این حداقل (که در حالت اخیر به معنای نیاز به محاسبات دقیق خیز است) اعلام می شود.

2. رابطه تعادل و تنش کرنش) با فرض $f_s = f_y$ ارتفاع بلوک فشاری را محاسبه می کنیم:

$$a = \beta_1 c = \frac{A_s f_y}{0.85 f'_c b}$$

3. محاسبه c :

$$c = \frac{a}{\beta_1}$$

4. (رابطه سازگاری تغییر شکل ها) محاسبه ϵ_s :

$$\epsilon_s = \frac{d - c}{c} \epsilon_{cu}$$

5. در صورتی که $\epsilon_s < \epsilon_y$ فرض اولیه تسلیم فولاد کششی نادرست می باشد و نمی توان مقطع را مطابق شرایط آیین نامه ACI تحلیل کرد. علاوه بر این لازم است $\epsilon_s > 0.004$ باشد. در غیراینصورت و در صورتی که $\epsilon_s > \epsilon_y$ هر چند فولاد تسلیم شده است ولی مقطع پر آرماتور می باشد. مطابق آیین نامه در صورتی که $\epsilon_s > 0.004$ فرض اولیه درست بوده می توان محاسبات را ادامه داد.

6. (رابطه تعادل) محاسبه T :

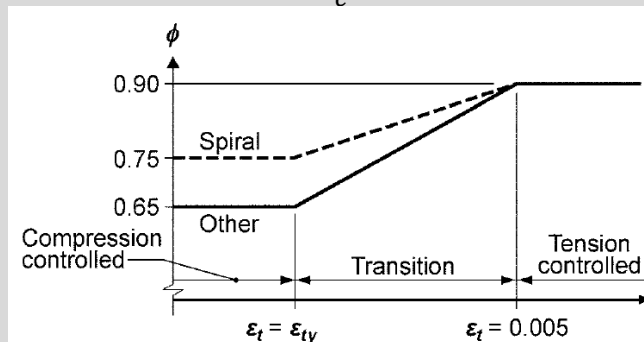
$$T = A_s \cdot f_y$$

7. (رابطه تعادل) محاسبه M_n :

$$M_n = T \cdot (d - 0.5a)$$

8. محاسبه ضریب کاهش مقاومت ϕ طبقه نمودار شکل 10 و رابطه:

$$\epsilon_t = \frac{d_t - c}{c} \epsilon_{cu}$$

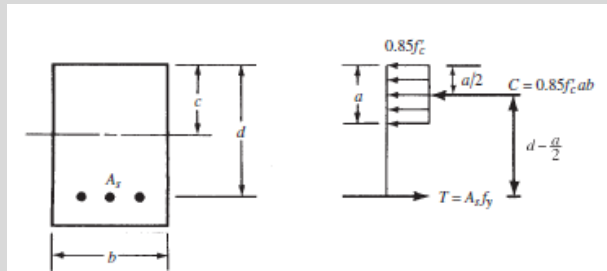


شکل 10. (تکراری) حالات رفتاری مختلف مقطع براساس کرنش فولاد کششی و انتخاب ϕ براساس آن مطابق آیین نامه ACI

9. گزارش M_u :

$$M_u = \phi M_n$$

حالت 1. ابعاد تیر معلوم باشد (شکل 16).



شکل 16. وضعیت مقطع در حالت نهایی برای طراحی تیر بتنی با مقطع مستطیل مسلح شده با فولاد کششی

1. کنترل های ابعادی برای h , b انجام دهید.
2. با توجه به وضعیت محیطی و بند 20.6.1.3 آیین نامه حداقل کاور را بدست آورید یا از روابط تقریبی d را بدست آورید.

3. M_u را دریافت کنید. (فرض شده است وزن تیر در محاسبه M_u قبلا دخالت داده شده است.)

4. ابتدا فرض می کنیم: $\phi = 0.9$ (در ادامه با محاسبه کرنش ها این فرض را کنترل خواهیم کرد)

$$M_n = \frac{M_u}{\phi} \quad 5$$

6. با ترکیب دو رابطه تعادل زیر رابطه بین M_n و A_s را به صورت یک معادله درجه 2 می نویسیم:

$$\sum F_x = 0 \rightarrow a = \frac{A_s f_y}{0.85 f'_c b}$$

$$\sum M_i = M_n \rightarrow M_n = A_s f_y \left(d - \frac{a}{2} \right)$$

بنابراین با ترکیب دو رابطه و تعریف $\rho = \frac{A_s}{bd}$ خواهیم داشت:

$$M_n = \rho f_y b d^2 \left(1 - \frac{f_y}{1.7 f'_c} \cdot \rho \right)$$

با حل این معادله درجه 2، ρ به صورت زیر بدست می آید:

$$\rho = \frac{0.85 f'_c}{f_y} \left(1 - \sqrt{1 - \frac{2 R_n}{0.85 f'_c}} \right)$$

که

$$R_n = M_n / (b d^2)$$

$$A_s = \rho b d \quad 7$$

8. کنترل $A_{s,min}$: اگر مقدار $A_s < A_{s,min}$ باشد محاسبات با قرار دادن $A_s = A_{s,min}$ ادامه یابد:

$$A_{s,min} = \max \left(\frac{0.25 \sqrt{f'_c}}{f_y} \cdot b_w d, \frac{1.4}{f_y} b_w d \right)$$

10. (رابطه تعادل و تنش کرنش) با فرض $f_s = f_y$ ارتفاع بلوک فشاری را محاسبه می کنیم:

$$a = \beta_1 c = \frac{A_s f_y}{0.85 f'_c b}$$

11. محاسبه c :

$$c = \frac{a}{\beta_1}$$

12. (رابطه سازگاری تغییر شکل ها) محاسبه ϵ_s :

$$\epsilon_s = \frac{d - c}{c} \epsilon_{cu}$$

9. اگر $\epsilon_s < 0.004$ باشد آنگاه مقطع پرماتور است و از نظر آیین نامه قابل استفاده نیست. (بند 9.3.3.1 آیین نامه) در این حالت ممکن است مقطع با آرماتور فشاری قابل طراحی باشد.

10. اگر $\epsilon_s \geq 0.005$ باشد فرض $\phi = 0.9$ قابل قبول بوده مقدار A_s گزارش می شود. در غیراینصورت فرض اولیه $\phi = 0.9$ قابل قبول نبوده؛ لازم است ابعاد مقطع اصلاح شود (به عنوان مثال عمق d افزایش یابد) مراحل طراحی مجدداً انجام شود. البته می توان به عنوان راه حل دیگر در اینجا مقدار ϕ را براساس مقدار ϵ_s و با استفاده از نمودار 21.2.2 آیین نامه کاهش داد و با همان ابعاد قبل محاسبات را تکرار نمود و مقدار A_s جدید را گزارش کرد.

الگوریتم 3 طراحی خمشی تیر با مقطع مستطیل با آرماتور کششی تنها: ابعاد تیر نا معلوم باشد

1. مقدار ρ_{max} محاسبه کنید.
2. قرار دهید: $\rho = \frac{1}{2}\rho_{max}$ (این مقدار اولیه معمولاً نسبت منطقی از آرماتور مقطع در اختیار می گذارد)
3. $\phi = 0.9$
4. $M_n = M_u/\phi$
5. محاسبه کنید:

$$R_n = \rho f_y \left(1 - \frac{\rho f_y}{1.7 f'_c}\right)$$

6. محاسبه کنید: $bd^2 = M_n/R_n$
7. اگر $\frac{d}{b} = 2$ آنگاه $d = \sqrt[3]{(2M_n)/R_n}$: $b = d/2$: $A_s = \rho bd$: $h = d + d_s + cover$
8. اگر $d = b$ آنگاه $d = \sqrt[2]{M_n/(R_n b)}$: $b = d$: $A_s = \rho bd$: $h = d + d_s + cover$
9. کنترل A_s, min اگر مقدار $A_s < A_s, min$ باشد محاسبات با قرار دادن $A_s = A_s, min$ ادامه یابد:

$$A_{s, min} = \max\left(\frac{0.25\sqrt{f'_c}}{f_y} \cdot b_w d, \frac{1.4}{f_y} b_w d\right)$$

10. کنترل b, h از نظر حداقل های آیین نامه و خیز
11. گزارش مقادیر A_s, h, b برای حالت $\frac{d}{b} = 2$
12. گزارش مقادیر A_s, h, b برای حالت $d = b$
13. نکته ای که لازم است در اینجا مورد تاکید قرار گیرد آنست که در این حالت نیازی به کنترل کرنش در فولاد کششی برای ϕ نمی باشد. با انتخاب ρ کمتر از ρ_{max} اطمینان حاصل می شود که همواره $\epsilon_s \geq 0.005$ خواهد شد و $\phi = 0.9$.

الگوریتم 4 طراحی خمشی تیر با مقطع مستطیل با آرماتور کششی و فشاری

1. در طراحی مقطع با آرماتور کششی و فشاری ابعاد مقطع معلوم است. b, h, d
2. $\phi = 0.9$
3. از رابطه $A_{s, max} = \rho_{max} bd = \left(\frac{3}{8}\right) \cdot (0.85\beta_1 \frac{f'_c}{f_y}) bd$ فوق $A_{s, max}$ را محاسبه می کنیم. ابتدا مقطع را با آرماتور کششی تنها کنترل می کنیم.
4. $M_n = M_u/\phi$
5. $a = \frac{A_{s, max} \cdot f_y}{0.85 f'_c b}$
6. $M_{n1} = A_{s, max} f_y \left(d - \frac{a}{2}\right)$
7. اگر $M_{n1} \geq M_n$ نیازی به آرماتور فشاری نیست و مقطع را می توان با آرماتور کششی طراحی کرد و از همان الگوریتم طراحی مقطع مستطیل شکل با آرماتور کششی تنها، می توان استفاده کرد.
8. $M_{n2} = M_n - M_{n1}$

$$c = a/\beta_1 \quad 9$$

$$\varepsilon'_s = \frac{c-d'}{c} \cdot (0.003) \quad 10$$

$$f'_s = E_s \varepsilon'_s \text{ در غیر این صورت } f'_s = f_y \text{ اگر } \varepsilon'_s \geq \varepsilon_y \quad 11$$

$$A'_s = \frac{M_{n2}}{f'_s(d-d')} \quad 12$$

$$A_{s2} = \frac{A'_s f'_s}{f_y} \text{ از تعادل نیروهای مقطع در قسمت شکل 18-ج خواهیم داشت:} \quad 13$$

$$14 \text{ میلگرد کششی مورد نیاز: } A_s = A_{s,max} + A_{s2} \text{ و میلگرد فشاری مورد نیاز } A'_s \text{ خواهد بود.}$$

الگوریتم 5. طراحی خمشی تیر با مقطع T شکل

1. در طراحی تیر با مقطع T شکل ابعاد تیر مشخص است.

$$2. \quad \phi = 0.9 \text{ فرض می کنیم.}$$

$$3. \quad M_n = M_u / \phi$$

4. ابتدا فرض می کنیم: $a \leq h_f$ و تیر مثل یک مقطع مستطیلی به عرض $b = b_e$ طراحی می کنیم.

5. با ترکیب دو رابطه تعادل زیر رابطه بین M_n و A_s را به صورت یک معادله درجه 2 می نویسیم:

$$\sum Fx = 0 \rightarrow a = \frac{A_s f_y}{0.85 f'_c b}$$

$$\sum Mi = M_n \rightarrow M_n = A_s f_y \left(d - \frac{a}{2} \right)$$

بنابراین با ترکیب دو رابطه و تعریف $\rho = \frac{A_s}{bd}$ خواهیم داشت:

$$M_n = \rho f_y b d^2 \left(1 - \frac{f_y}{1.7 f'_c} \cdot \rho \right)$$

با حل این معادله درجه 2، ρ به صورت زیر بدست می آید:

$$\rho = \frac{0.85 f'_c}{f_y} \left(1 - \sqrt{1 - \frac{2 R_n}{0.85 f'_c}} \right)$$

که

$$R_n = M_n / (b d^2)$$

$$6. \quad A_s = \rho b d$$

7. کنترل $A_{s,min}$: اگر مقدار $A_s < A_{s,min}$ باشد محاسبات با قرار دادن $A_s = A_{s,min}$ ادامه یابد:

$$A_{s,min} = \max \left(\frac{0.25 \sqrt{f'_c}}{f_y} \cdot b_w d, \frac{1.4}{f_y} b_w d \right)$$

8. (رابطه تعادل و تنش کرنش) با فرض $f_s = f_y$ ارتفاع بلوک فشاری را محاسبه می کنیم:

$$a = \beta_1 c = \frac{A_s f_y}{0.85 f'_c b}$$

9. اگر $a \leq h_f$ فرض اولیه درست بوده و مقدار A_s گزارش می شود در غیر این صورت بلوک فشاری به جان منتقل شده و لازم است مراحل از بند 11 ادامه یابد.

10. اگر $a \leq \frac{3}{8} \beta_1 d$ باشد فرض اولیه $\phi = 0.9$ برقرار است و مقدار A_s گزارش می شود در غیر این صورت با افزایش عمق مقطع مراحل از بند 1 تکرار می شود.

11. پایان

12. میلگردهای که با تنش فشاری بال های تیر در تعادل است (قسمت ج):

$$A_{sf} = \frac{0.85f'_c(b - b_w)h_f}{f_y}$$

و لنگر معادل آن:

$$M_{nf} = A_{sf} \cdot f_y \left(d - \frac{h_f}{2} \right)$$

13. $M_{nw} = M_n - M_{nf}$ لنگر تحمل شده توسط جان تیر

14. فولاد معادل این لنگر به روش معمول محاسبه می شود:

$$\rho = \frac{0.85f'_c}{f_y} \left(1 - \sqrt{1 - \frac{2R_n}{0.85f'_c}} \right)$$

که

$$R_n = M_n / (bd^2)$$

$$A_{sw} = \rho b d \quad .15$$

$$A_s = A_{sf} + A_{sw} \quad .16$$

17. کنترل $A_{s,min}$: اگر مقدار $A_s < A_{s,min}$ باشد محاسبات با قرار دادن $A_s = A_{s,min}$ ادامه یابد:

$$A_{s,min} = \max \left(\frac{0.25\sqrt{f'_c}}{f_y} \cdot b_w d, \frac{1.4}{f_y} b_w d \right)$$

$$a = \frac{A_s f_y - h_f (b - b_w)}{b_w} \quad .18$$

19. اگر $a \leq \frac{3}{8} \beta_1 d$ باشد فرض اولیه $\phi = 0.9$ برقرار است و مقدار A_s گزارش می شود در غیر اینصورت با افزایش

عمق مقطع مراحل از بند 1 تکرار می شود.

معمولا در طراحی نسبت A_v/S و حداکثر فاصله بین خاموت ها، گزارش می شود و طراح با استفاده از این مقادیر، به ترسیم جزئیات مناسب اقدام می کند.

1. ابعاد مقطع b_w, d, h
2. برش نهایی را با استفاده از تحلیل سازه بدست آورید. V_u
3. مقدار ϕ را می توان برابر 0.75 گرفت مگر آنکه ملاحظات خاص بند 22.2.4.1 برقرار باشد، بدون در نظر گرفتن جزئیات این بند برای طرح لرزه ای (ترکیب بار مورد نظر شامل بار زلزله باشد) می توان $\phi = 0.6$ گرفت.
4. مشخصات مصالح f_{yt}, f'_c
5. کنترل مقدار f_{yt} مطابق بند 20.2.2.4. اگر مقدار آن از $420 MPa$ بیشتر باشد. از میلگرد نمیتوان به عنوان خاموت استفاده کرد. می توان برای ادامه مراحل طراحی $f_{yt} = 420 MPa$ فرض کرد.
6. بند 22.5.3.1 را برای مقدار مجاز f'_c بررسی کنید. $\sqrt{f'_c} < 8.3 MPa$. در صورتی که شرایط بند 22.5.3.2 برقرار باشد می توان این بررسی را انجام نداد. معمولا در اکثر تیرها شرایط این بند برقرار است.
7. محاسبه V_c مطابق بند طبق 22.5.5، 22.5.6 یا 22.5.7 انجام می شود. برای بیشتر تیرها:

$$V_c = 0.17\lambda \sqrt{f'_c} b_w d$$
8. کنترل بند 22.5.1.2 جهت اطمینان از کفایت ابعاد مقطع، اگر رابطه

$$V_u \leq \phi (V_c + 0.066 \sqrt{f'_c} b_w d)$$
 برقرار نباشد باید ابعاد مقطع اصلاح شود زیرا خرابی برشی اتفاق می افتد. در غیراینصورت طراحی را می توان ادامه داد.
9. اگر $V_u < 0.5\phi V_c$ یا شرایط جدول 9.6.3.1 برقرار باشد نیازی به مسلح سازی برشی نیست و $\frac{A_v}{s} = 0$.
10. اگر $0.5\phi V_c < V_u < \phi V_c$ آرماتور برشی حداقل مطابق 9.6.3.3 مورد نیاز است. مقدار $\frac{A_{v,min}}{s}$ برابر مقدار بزرگتر

$$\frac{A_v}{s} = \frac{A_{v,min}}{s} \text{ و } 0.062 \sqrt{f'_c} \frac{b_w}{f_{yt}}$$
 می باشد. به عبارت دیگر $\frac{A_v}{s} = \frac{A_{v,min}}{s}$.
11. $V_s = V_u/\phi - V_c$
12. $\frac{A_v}{s} = \frac{V_s}{f_{ys}d}$
13. مقدار $\frac{A_v}{s}$ با $\frac{A_{v,min}}{s}$ مقایسه شود در صورتی که $\frac{A_v}{s} < \frac{A_{v,min}}{s}$ باشد $\frac{A_v}{s} = \frac{A_{v,min}}{s}$. مقدار $\frac{A_{v,min}}{s}$ برابر مقدار بزرگتر

$$\frac{A_v}{s} = \frac{A_{v,min}}{s} \text{ و } 0.062 \sqrt{f'_c} \frac{b_w}{f_{yt}}$$
 می باشد.
14. حداکثر فاصله بین خاموت ها با استفاده از جدول 9.7.6.2.2 محاسبه می شود:

V_s	s, mm
$\leq 0.33 \sqrt{f'_c} b_w d$	$\min(d/2, 600 mm)$
$> 0.33 \sqrt{f'_c} b_w d$	$\min(d/4, 300 mm)$
15. مقادیر $\frac{A_v}{s}$ و s_{max} گزارش می شود.

1. برای طراحی پیچشی نیاز به خواص هندسی ویژه ای از مقاطع است. در ادامه تعریف و نحوه محاسبه این خواص هندسی تشریح می گردد.

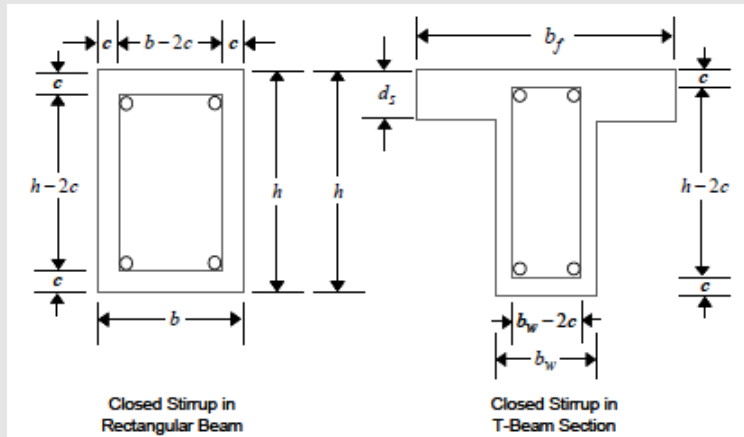
A_{cp} : مساحت محصور با محیط پیرامونی مقطع

A_{oh} : مساحت محصور با خط مرکزی بیرونی ترین خاموت بسته پیچشی

A_0 : مساحت خالص محصور با مسیر جریان برشی

P_{cp} : محیط پیرامونی مقطع

P_h : محیط محصور با خط مرکزی بیرونی ترین خاموت بسته پیچشی



برای مقاطع مستطیل شکل:

$$\begin{aligned} A_{cp} &= bh \\ A_{oh} &= (b - 2c)(h - 2c) \\ A_0 &= 0.85A_{oh} \\ P_{cp} &= 2b + 2h \\ P_h &= 2(b - 2c) + 2(h - 2c) \end{aligned}$$

برای مقاطع T شکل خواهیم داشت:

$$\begin{aligned} A_{cp} &= b_w h + (b_f - b_w) d_s \\ A_{oh} &= (b_w - 2c)(h - 2c) \\ A_0 &= 0.85A_{oh} \\ P_{cp} &= 2b_f + 2h \\ P_h &= 2(h - 2c) + 2(b_w - 2c) \end{aligned}$$

می توان به عنوان مقدار اولیه برای c ، با در نظر گرفتن 50 میلی متر کاور و میلگرد برشی از نمره 10، مقدار آن را برابر 55 میلی متر در نظر گرفت.

$$2. \quad \phi = 0.75 \rightarrow T_n = T_u / \phi$$

3. به مقدار V_u در مقطع مورد نظر نیز نیازمندیم

4. با استفاده از بند 22.7.7.1 کفایت ابعاد مقطع را کنترل می کنیم. در صورتی که رابطه این بند برقرار باشد می توان

طراحی را ادامه داد در غیر اینصورت مقطع دچار خرابی خواهد شد و لازم است ابعاد مقطع اصلاح گردد. ■

$$\sqrt{\left(\frac{V_u}{b_w d}\right)^2 + \left(\frac{T_u P_h}{1.7 A_{oh}^2}\right)^2} \leq \phi \left(\frac{V_c}{b_w d} + 0.66 \sqrt{f'_c}\right)$$

5. محاسبه T_{th} مطابق بند 22.7.4.1 محاسبه می شود.

نوع عضو	T_{th}	
اعضای غیر پیش تنیده	$0.083\lambda \sqrt{f'_c} \left(\frac{A_{cp}^2}{P_{cp}}\right)$	الف
اعضای غیر پیش تنیده در معرض نیروی محوری	$0.083\lambda \sqrt{f'_c} \left(\frac{A_{cp}^2}{P_{cp}}\right) \sqrt{1 + \frac{N_u}{0.33A_g \lambda \sqrt{f'_c}}}$	ج

6. اگر $T_n < T_{th}$ نیازی به مسلح سازی پیچشی نیست. ■

7. در صورتی که پیچش از نوع همسازی است و شرایط بند 22.7.3.2 فراهم باشد می توان $T_u \geq \phi T_{cr} \rightarrow T_u = \phi T_{cr}$

نوع عضو	T_{cr}	
اعضای غیر پیش تنیده	$0.33\lambda \sqrt{f'_c} \left(\frac{A_{cp}^2}{P_{cp}}\right)$	الف
اعضای غیر پیش تنیده در معرض نیروی محوری	$0.33\lambda \sqrt{f'_c} \left(\frac{A_{cp}^2}{P_{cp}}\right) \sqrt{1 + \frac{N_u}{0.33A_g \lambda \sqrt{f'_c}}}$	ج

در غیر اینصورت این کاهش مجاز نمی باشد

8. محاسبه میلگردهای طولی و عرضی پیچشی با استفاده از بند 22.7.6.1

$$T_n = \frac{2A_0 A_t f_{yt}}{s} \text{ الف.}$$

$$T_n = \frac{2A_0 A_l f_y}{P_h} \text{ ب.}$$

9. اگر $A_l < A_{l,min}$ مطابق بند 9.6.4.3 لازم است $A_l = A_{l,min}$ برابر حداقل مقدار دو رابطه زیر است:

$$0.42 \sqrt{f'_c} \frac{A_{cp}}{f_{yt}} - \left(\frac{A_t}{s}\right) P_h \frac{f_{yt}}{f_y}$$

$$0.42 \sqrt{f'_c} \frac{A_{cp}}{f_{yt}} - \left(\frac{0.175 b_w}{f_{yt}}\right) P_h \frac{f_{yt}}{f_y}$$

10. حداقل میلگرد عرضی $(A_v + 2A_t)min/s$ باید بزرگتر از مقادیر الف و ب باشد:

$$\text{الف. } 0.062 \sqrt{f'_c} \frac{b_w}{f_{yt}} \quad \text{ب. } 0.35 \frac{b_w}{f_{yt}}$$

در صورتی که این شرط برقرار نباشد می توان A_t/s را آنقدر افزایش داد تا این شرط برقرار شود.

11. جزییات ترسیمی میلگردهای پیچشی مطابق بند 9.7.5 و 9.7.6 تهیه می شوند. ■

1. محاسبه نقطه A معادل نیروی محوری فشاری خالص:

$$P_{n,0} = 0.85f'_c(A_g - A_{st}) + f_y A_{st}$$

مطابق توضیحات داده شده مقدار $\phi P_{n,max}$ از رابطه زیر محاسبه می شود ($\phi = 0.65$):

$$\phi P_{n,max} = 0.8\phi[0.85f'_c(A_g - A_{st}) + f_y A_{st}]$$

کلیه نقاط روی منحنی اندرکنش که $\phi P_n > \phi P_{n,max}$ به این مقدار کاهش داده می شود (نقطه A). این محدوده با یک خط راست نمایش داده می شود.

2. برای محاسبه سایر نقاط مقادیر زیر برای Z انتخاب می شود:

$$z = 0.5, 0.25, 0$$

برای محدوده ای که کلیه میلگردها در فشار هستند

$$z = -1$$

نقطه تعادل و

$$z = -2, -2.5, -4, -6$$

برای سایر نقاط

3. به ازای هر مقدار Z به ترتیب مقادیر زیر محاسبه می شود:

$$m = \frac{z * \epsilon_y - 0.003}{d_1}$$

$$\epsilon_{s,i} = 0.003 + m * d_i$$

$$c = \frac{-0.003}{m}$$

$$a = \beta_1 c \quad \text{if } a > h \rightarrow a = h$$

و نیروی تمام میلگردها از روابط:

$$f_{s,i} = E_s \epsilon_{s,i}, \quad -f_y \leq f_{s,i} \leq -f_y$$

$$\text{if } d_i > a \rightarrow F_{s,i} = (f_{s,i}) A_{s,i}$$

$$\text{if } d_i \leq a \rightarrow F_{s,i} = (f_{s,i} - 0.85f'_c) A_{s,i}$$

و نیروی فشاری بتن از روابط:

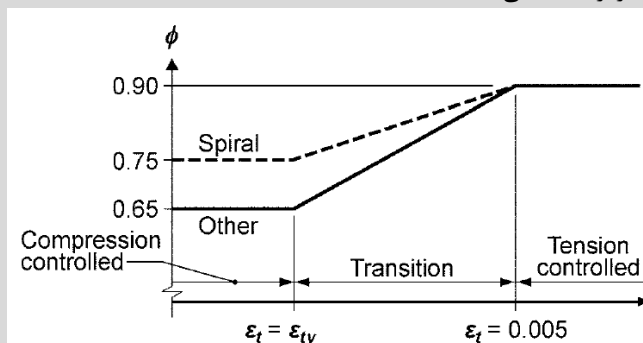
$$a = \beta_1 c, C_c = (0.85f'_c) ab$$

و در نهایت M_n, P_n از روابط زیر:

$$P_n = C_c + \sum F_{s,i}$$

$$M_n = C_c \left(\frac{h}{2} - \frac{a}{2} \right) + \sum F_{s,i} \left(\frac{h}{2} - d_i \right)$$

برای هر جفت M_n, P_n با استفاده از مقدار $\epsilon_{s1} = z * \epsilon_y$ و منحنی زیر مقدار ϕ بدست می آید ($z \leq -1$ کنترل شده فشاری هستند و ϕ برابر 0.65 می باشد).



4. آخرین نقطه معادل کشش محوری خالص از رابطه زیر بدست می آید(برای کشش \emptyset برابر 0.9 منظور می شود):

$$T_n = \sum -f_y A_{si} \blacksquare$$